Ceftizoxime の基礎と臨床 ----子宮,付属器濃度および臨床的検討----

中村英世 川崎市立川崎病院産婦人科

新しいセファロスポリン系抗生物質 Ceftizoxime を子宮筋脈にて腹式子宮全摘術を行った32例に1g 静注し、血清中濃度、子宮および付属器組織濃度を測定した。 血消中濃度は two compartment open model, 子宮および 付属器組織濃度については three exponential model 式により薬動力学的解析を行った。

子宮各組織最高濃度に達する時間は子宮筋層が 3.6 分間と最も速く、最も遅かった卵巣との間には 約9 分間の差があった。 組織対血清中最高濃度比は子宮内膜 46 %, 筋層 42 %, 卵管 41 %, 頸部 34 %, 卵巣 23 %の順で, 回帰した 各組織濃度推移と 各種細菌に 対する 本剤の抗菌力との関係から, E. coli, K. pneumoniae, P. mirabilis をはじめとする GNB, さらに S. pyogenes, S. aureus やその他の GPC が原因の子宮内感染症に対して,本剤の有用性が認められた。

子宮付属器炎 3 例(Lactobacillus 1, unknown 2), 骨盤腹膜炎 3 例,内付属器炎合併 2 例 (E.coli 2, unknown 1), 急性腎盂腎炎 3 例 (E.coli 2, Klebsiella 1) および Staphylococcus aureus が検出された化膿性外陰炎 1 例の計 10 例に,本剤を 1 回 $0.5\sim 2\,g$, 1 日 2 回, $4\sim 8$ 日間, 点滴 1 例を除き静注し, 著効 7 例, 有効 2 例,無効 1 例の臨床効果が得られた。 同作用は 1 例も経験せず, 投与前後の末梢血, 肝機能, 腎機能, および電解質諸検査成績においても著明な変化を認めなかった。

以上の薬動力学的ならびに臨床成績から、 本剤は産婦人科領域において first choice となる新しいセファロスポリン系抗生物質の資格を有するものと考えられた。

各種感染症への抗生物資の選択についての従来からの判断基準は、in vitro での抗菌力だけが最重要視され、投与方法、投与間隔などの問題にしても、その抗生物質の血清中濃度を参考にして決められていたに過ぎない。感染の対象が各種臓器、組織である以上、その組織内の抗生物質濃度およびその経時変化を測定し薬動力学的検討を行うことによって、特定組織の炎症に対する抗生物質の適確な選択、投与方法、投与間隔、投与量など投与スケジュールの論理的決定に役立ち、有効性と安全性の追求が可能となろう。

最近、セファロスポリン系抗生物質が各種細菌感染症に対して多くの場合、その使用選択の第1に挙げられていることに異 論はないであろう。その理由は抗菌スペクトルが広いこと、重 篇な副作用が少ないこと、さらにペニシリン誘導体との交差耐 性が比較的少ないことにあると思われる。

Fig. 1 Chemical structure of Ceftizoxime

Ceftizoxime (CZX, FK 749) は藤沢薬品工業中央研究所で 開発された 新しい 注射用 セファロスポリン 系抗生物質 で, E. coli, K. pneumoniae, P. mirabilis などグラム陰性桿菌, S. pneumoniae, S. pyogenes などグラム陽性球菌の従来セフ ァロスポリン系抗生物質が抗菌力を有していた 各種起炎菌に対 してさらに抗菌力が増強され、インドール陽性 Proteus, Serratia, Enterobacter, Citrobacter, H.influenzae など従来の セファロスポリン系抗生物質がほとんど抗菌力を有しないか。 弱かったグラム陰性桿菌に対して、また P.cepacia など一部 のプドウ糖非醗酵グラム陰性桿菌や B. fragilis を始めとする グラム陰性および陽性嫌気性菌に対して良好な抗菌力を有し, スペクトルの拡大がみられるようになった1)。 血清中半減期は CEZ よりは短かいが CTM や CMZ よりも長く, 主排泄経路 は腎であるが腎毒性その他毒性も弱いとされている1)。 この Ceftizoxime を腹式子宮全摘術施行患者に術前に静脈内投与し 血清中濃度, 子宮組織濃度について検討を加えるとともに, 産 婦人科領域に おける各種感染症 10 例に本剤を投与し、 臨床的 検討を併せて行い、Ceftizoxime の有用性を検討したのでここ に報告する。

子宮および子宮付属器濃度

1. 方 法

a. 対 象

対象は木院婦人科病棟に入院し、子宮筋脈のために腹式子宮全摘術 および 付属器切除術を行った 32 症例である。 年令は 32 才から 70 才にわたっており、 体重は 39 kg~58 kg、 平均 50.2 kg であった。術前に検査した末 竹血の赤血球数、白血球数、ヘモクロビン、ヘマトクリット、血清中の尿素窒素、クレアチニンはほぼ正常範囲内であった。 麻酔方法は全例腰椎麻酔であった(Table 1)。

b. 投与方法および測定方法

Ceftizoxime 1g を5%ブドゥ糖20 ml に溶解し、これを術前に肘静脈から静注し、静注から子宮動脈結紮までの時間を検体採取時間とした。検体採取時間は手術操作との関係で厳密に一定にできないので、A群(~30分)、B群(31分~60分)、C群(61分~90分)、D群(91分~120分)、E群(121分~180分)、F群(181分~240分)、G群(241分~360分)に分類した。

子宮動脈結紮と同時に肘静脈および子宮動脈から約3 ml 採血し、 さらに子宮体および両付属器を摘出後なる べく早く約1g の各組織を採取した。組織採取部位は、

Table 1 Laboratory findings before total hysterectomies

	Case		RBC	Hb	Ht	WBC	BUN	S-Cr
No.	Age	Body weight	(×104/mm³)	(g/dl)	(%)	(/mm³)	(mg/dl)	(mg/dl)
1	32	52 kg	391	12.1	37.6	6,100	8.7	0.7
2	55	50	434	12.8	39.3	6,800	15.9	0.8
3	37	41	424	12.9	38.9	4,700	6.6	0.9
4	44	39	389	12.1	38.3	6,700	7.0	0.8
5	43	48	411	13.5	40.0	3,800	10.3	0.8
6	32	50	391	12.6	34.8	6,100	9.9	0.7
7	47	53	366	11.6	34.5	10,400	11.3	0.9
8	45	54	391	11.8	36.8	5,900	8.8	0.8
9	43	50	364	11.0	33.5	6,700	13.5	0.9
10	54	51	422	12.9	39.5	4,300	14.3	0.9
11	36	58	391	13.1	39.7	3,600	8.8	0.9
12	38	54	418	12.5	37.6	4,500	8.7	0.8
13	48	50	423	14.8	46.1	8,800	7.8	0.8
14	70	42	326	10.3	30.7	3,500	14.7	0.8
15	54	49	398	12.5	38.7	5,700	9.9	0.9
16	41	57	386	11.2	35.7	7,800	13.0	0.8
17	55	50	370	12.0	34.3	5,100	12.2	0.9
18	39	52	373	11.0	34.9	5,300	7.5	0.7
19	44	56					11.7	0.8
20	43	50	410	13.4	39.0	5,700	10.4	0.7
21	50	53	459	13.1	42.0	6,200	12.6	0.9
22	46	46	346	8.6	27.7	5,800	14.5	0.8
23	53	50	408	10.4	33.9	4,500	15.4	0.7
24	48	51	426	11.2	36.2	5,700	15.7	0.8
25	50	46						ř
26	48	42						
27	39	55	396	12.8	34.9	4,700	6.9	0.9
28	51	54	448	14.6	45.5	7,100	9.9	1.1
29	40	53	387	12.7	37.5	6,800	14.5	0.9
30	40	51	353	9.7	31.0	6,900	11.6	0.9
31	45	53	358	11.1	29.5	3,700	9.7	0.8
32	42	46	326	10.7	33.3	6,200	21.6	1.1

①子宮頸部,②子宮筋屬(子宮体中央部),③子宮内睒, ⑥卵巣,⑤卵管(膨大部),の5ヵ所で、組織に付替した血液を乾燥滅菌ガーゼで消拭後直ちに freezing した。採取した肘静脈血および子宮動脈血は3,000回転, 10分間遠心分離し、その血情を直ちに-20℃で freezing し、測定に供した。

組織は測定時に99%エタノールを組織1g当り2ml加え、ポリトロンホモゲナイザーで homogenize し、それを10,000×g、10分間遠心分離を行った。その上荷中濃度を測定し、g当りの濃度を測定した。濃度測定はBacillus subtilis ATCC 6633を検定菌とし、クエン酸ナトリウム培地を測定培地とする薄層ディスク法によった。標準曲線は血消中濃度についてはコンセーラ、組織内濃度については 66.6%エタノール溶液によりそれぞれ作製した。

c. 測定値の薬動力学的解析

実測した血清中濃度および組織内濃度を次のとおり薬 動力学的に解析し、 parameter を求めた。

血清中濃度は各測定点の実測値を NONLIN program²¹ により two compartment open model³¹ の濃度

式に FACOM 230/38 型degital computer により回帰してA, B, α, β を求め, 次いで Table 2 のとおり各paramater を 算出した。ここで待られた parameter を 用い次式により two compartment open model による 点滴注入時の血消中濃度を予測した。

$$F(t) = \frac{K}{Vc} \left(\frac{K_{21}}{\alpha \beta} - \frac{\alpha - k_{21}}{\alpha (\alpha - \beta)} \cdot \exp(-\alpha t) - \frac{k_{21} - \beta}{\beta (\alpha - \beta)} \cdot \exp(-\beta t) \right)$$

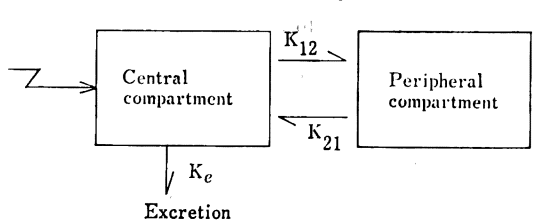
 $t \le \theta$ C = F(t) $t > \theta$ $C = F(t) - F(t - \theta)$ θ : Infusion time

組織内濃度については、薬剤の移行がすでに pharmacokinetics の領域で認められて いるように、 1 次速 度で移行すると考えて、

 $C = A'e - \alpha't + B'e - \beta't - (A' + B')e - \tau$ という式を設定した。ここで、C: 組織内濃度、t: 時間、A'、B'、 α' 、 β' 、 γ は定数である。

 α' は組織内濃度の初期の消失速度定数であり、その 半減期 $T_{1/2-\alpha'}$ は $T_{1/2-\alpha'}=0.693 \times \alpha'^{-1}$ で氷められる。

Table 2 Two compartment open model
——Intravenous bolus injection——



Serum concentration—time equation

 $C = A \cdot e^{-\alpha t} + B \cdot e^{-\beta t}$

A: Serum concentration at t=0 based on α

B: Serum concentration at t=0 based on β

t: Time after injection

C: Serum concentration at time = t

 α : Elimination constant in α phase

 β : Elimination constant in β phase

K₁₂: Distribution rate constant

 $\mathbf{K_{12}} = \alpha + \beta - \mathbf{K_{21}} - \mathbf{Ke}$

K₂₁: Distribution rate constant

 $K_{21} = (A\alpha + B\beta)/(A+B)$

Ke: Elimination rate constant

 $Ke = (\alpha \beta)/K_{21}$

Co : Serum level at t=0

Co = A + B

 $AUC = A/\alpha + B/\beta = D/(Vc + Ke)$

T1/2: Serum half life

 $T_{\frac{1}{2}} = 0.693/\beta$

 T_{β} : Time to reach β -phase

 $T_{\beta} = (0.693/\alpha) \times 7$

AUC: Area under the serum level curve

D: Dose

Vc : Volume of central compartment

Vc = D/Co

Vt : Volume of peripheral compartment

 $Vt = Vc (K_{12}/K_{21})$

C1-body: Body clearance

 $Cl-body = Vc \times Ke$

eta' は組織内濃度の後期の消失速度定数で、その半減期、いわゆる組織内濃度の半減期 $T_{\mathcal{H}-\beta'}$ は $T_{\mathcal{H}-\beta'}=0.693 \times \beta'^{-1}$ となる。

(A'+B')e-rt の項は組織への薬剤移行を示し、 r は 移行速度定数であり、移行の半減期 T½-r は T½-r= 0.693×r-1 となる。

得られた各測定値を上記組織内濃度に NONLIN program により回帰して定数を求めた。

2. 成績

Table 3 が各症例の sampling time, 肘静脈血および 子宮動脈血の血清中濃度, 各子宮組織内濃度の測定値の 一覧表である。 Sampling time は 14 分から 330 分に及 んだ。なお、年令などの関係から子宮内膜組織の採取が 不可能であったものが 11 例を数えた。

a. 血消中濃度

Ceftizoxime 1g 静注後14~16 分後の血清中濃度は、

Table 3 Tissue concentration of Ceftizoxime in uterus following 1 g intravenous injection

Group	Case	Sampling time	Venous sera	Arterial sera of uterine	Cervix	Myo- metrium	Endo- metrium	Ovarium	Fallopian tube
of the second second second		(minutes)	$(\mu g/ml)$	(μg/ml)	$(\mu \mathbf{g}/\mathbf{g})$	$(\mu g/g)$	(μg/g)	(μg/g)	(μg/g)
	1	14	97.0	97.0	58.3	42.6	33.3	26.2	44.1
	2	14	96.0	89.0	27.6	39.7	N.S.*	21.0	44.3
A	3	16	70.0	81.0	53.4	60.9	62.5	53.7	53.4
11	4	16	90.0	90.0	36.3	38.7	35.8	33.3	51.0
	5	23	70.0	68.0	45.6	29.1	45.6	23.1	41.4
	6	25	51.0	69.0	20.7	28.7	14.1	23.6	34.9
	7	40	61.0	40.0	24.0	25.7	26.9	31.7	25.1
	8	45	45.0	43.0	20.4	14.7	N.S.	13.7	26.7
В	9	45	27.0	39.0	23.8	8.7	8.6	18.1	14.2
ם	10	50	50.0	47.0	16.7	13.0	N.S.	17.6	18.8
	11	50	43.0	56.0	32.1	13.7	26.3	21.4	29.5
	12	52	24.0	20.5	10.8	9.9	7.8	8.8	11.1
	13	70	38.0	40.0	27.8	22.6	N.S.	30.1	21.4
	14	70	51.0	56.0	31.1	33.2	N.S.	22.6	25.0
С	15	75	61.0	37.0	45.8	17.2	22.8	21.4	38.0
	16	75	37.0	19.5	21.3	13.9	15.9	7.8	5.3
	17	90	6.4	8.4	6.2	5.2	N.S.	6.8	3.0
	18	95	22.6	15.8	26.4	9.4	11.0	13.8	12.7
	19	100	8.4	6.4	13.6	2.5	N.S.	10.5	5.2
D	20	105	30.0	33.0	23.2	15.9	0.6	1.9	5.4
	21	105	26.0	30.0	19.1	10.3	20.8	34.1	14.3
	22	116	14.0	13.7	10.9	6.4	8.3	12.7	12.3
	23	132	12.2	13.5	10.5	4.4	< 0.5	7.8	5.4
E	24	135	9.3	9.3	4.4	2.8	2.4	4.0	6.5
D	25	140	8.6	N.S.	5.0	5.2	N.S.	5.4	3.8
	26	150	9.8	8.9	6.2	3.9	< 0.3	5.4	4.7
	27	218	4.6	4.3	3.4	2.9	N.S.	3.8	3.0
F	28	220	10.0	8.0	6.9	4.5	N.S.	6.2	5.3
	29	220	20.0	21.5	8.4	6.7	11.8	13.2	10.0
	30	300	2.2	1.9	2.55	0.71	2.4	0.71	0.71
G	31	310	3.2	4.8	5.28	3.34	3.08	4.90	3.94
u	32	330	3.8	3.3	0.86	< 0.1	N.S.	2.0	0.78

^{*} N.S.: No sample

gar in Table 4	Pharmacokinetic	parameters of	Ceftizoxime	in sera	following	1 g	intravenous
	bolus injection						

	(µg/ml)	(/hr)	(µg/ml)	(/hr)	Ke (/hr)	C_0 (μ g/ml)	Τ) ₁ -β (hr)	Vc (1)	Vcl (1/hr/body)	AUC (μg•hr/ml)
Venous sera Arterial sera	84.8	3.22 4.84	55.1 68.6	0.532	1.08	139.9 173.6	1.30	7.15 5.76	7.70 8.20	65.0 122.0
•	105.0	4.84	68.6	0.684	1.472	173.6	1.01	5.76	8.20	

 $70\sim97\,\mu\mathrm{g/ml}$ を示し、 $40\sim52\,$ 分後の B 群 6 例では $20.5\sim61.0\,\mu\mathrm{g/ml}$, $70\sim90\,$ 分後の C 群 5 例では $19.5\sim61.0\,\mu\mathrm{g/ml}$ で 1 例が $6.4\sim8.4\,\mu\mathrm{g/ml}$ と低値を 示した。 $95\sim116$ 分後の B 群 4 例では $6.4\sim33.0\,\mu\mathrm{g/ml}$, $132\sim150\,$ 分後の E 群 4 例では $8.6\sim13.5\,\mu\mathrm{g/ml}$, $218\sim220\,$ 分後の F 群 3 例では $4.3\sim21.5\,\mu\mathrm{g/ml}$, $300\sim330\,$ 分後の G 群 3 例では $4.3\sim4.8\,\mu\mathrm{g/ml}$ であった。

これらの各実測値を先の濃度式から解析すると、1g 静注時の肘静脈血清中濃度 (concentration of venous sera: 以下 C v.s.) は、

C v. s. = 84.8 $e^{-3.22t} + 55.1 e^{-0.532t}$

となり、各 parameter は Table 4 に示した。 血清中 養度半減期 $T_{1/2}$ - β は 1.30 時間、また t=0 における予 剛最高濃度は $139.9~\mu g/ml$ であった。

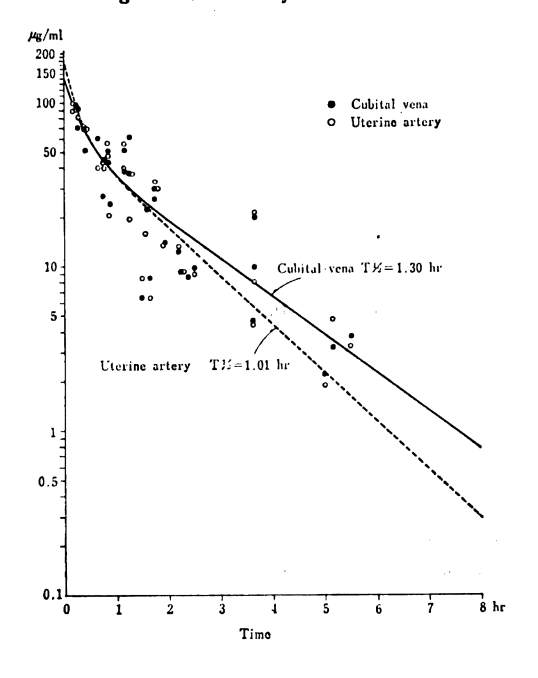
一方, 子宮動脈血清中濃度 (concentration of arterial sera in uterus: 以下 C a.s.) は,

C a. s. = 105.0 $e^{-4.84}$ + 68.6 $e^{-0.684}$ で示され, その半減期は 1.01 時間と肘静脈血の半減期 より若干短かかったが, t=0 における予測最高濃度は 173.6 $\mu g/ml$ と肘静脈血の それよりも高い 成績が 得ら

れた。

Fig. 2 には得られた肘静脈血と子宮動脈血中における Ceftizoxime の回帰濃度値を片対数グラフ上にブロットした。また 1g 静注により得られた薬動力学的定数から,Ceftizoxime 0.5 g~2g を 30分~120 分間かけて点繭静注した際の血清中濃度を先の parameter からsimulation した結果を Table 5 に示した。本剤1g点滴静注時の回帰濃度は30 分点滴では点滴終了時以降,また1時間点滴では点滴開始45 分以降,one shot 静注時の遺度をそれぞれ上廻り,点滴開始後6時間までこの傾向が続き,それ以後は one shot 時と点滴静注時に差はみられなかった。同様に2g 点滴静注時の回帰濃度は、2g one shot 静注時の濃度を、30分点滴では点滴終了時以降で、1時間点滴では点滴開始後45 分以降で、また2時間点滴では点滴開始後1時間30 分以降でそれぞれ上廻った。

Fig. 2 Simulated and actual concentrations of cubital vena and uterine artery following 1 g intravenous injection



b. 子宮および付属器組織濃度

Ceftizoxime 1g 静注後の子宮および付属器濃度は、 $14\sim25$ 分後のA群で子宮頸部 $20.7\sim58.3~\mu g/g$, 子宮筋層 $28.7\sim60.9~\mu g/g$, 内膜 $14.1\sim62.5~\mu g/g$, 卵巣 $21.0\sim53.7~\mu g/g$, 卵管 $34.9\sim53.4~\mu g/g$ であった。 B群では頸部 $10.8\sim32.1~\mu g/g$, 筋層 $8.7\sim25.7~\mu g/g$, 内膜 $7.8\sim26.9~\mu g/g$, 卵巣 $8.8\sim31.7~\mu g/g$, 卵管 $11.1\sim29.5~\mu g/g$, C群では頸部 $6.2\sim45.8~\mu g/g$, 筋層 $5.2\sim33.2~\mu g/g$, 内膜 $15.9\sim22.8~\mu g/g$, 卵巣 $6.8\sim30.1~\mu g/g$, 卵管 $3.0\sim38.0~\mu g/g$, D群では頸部 $10.9\sim26.4~\mu g/g$, 筋層 $2.5\sim15.9~\mu g/g$, 内膜 $0.6\sim20.8~\mu g/g$, 卵巣 $1.9\sim34.1~\mu g/g$, 卵管 $5.2\sim14.3~\mu g/g$, E群では頸部 $4.4\sim10.5~\mu g/g$, 筋層 $2.8\sim5.2~\mu g/g$, 内膜 $0.3\sim2.4~\mu g/g$, 卵巣 $4.0\sim7.8~\mu g/g$, 卵管 $3.8\sim6.5~\mu g/g$, F群では頸部 $3.4\sim8.4~\mu g/g$, 筋層 $2.9\sim6.7$

Table 5 Simulated serum concentrations following intravenous bolus injection and drip infusion

Dose of CZX	,	1 g			2	g	
Infusion time	One-shot	30 min	60 min	One-shot	30 min	60 min	120 min
Hrs. following administration	-	Simul	lated serum o	concentrations	(μg/ml)		
0	139.9	0	0	279.8	0	0	0
0.25	86.2	54.9	27.4	172.3	109.0	54.9	27.4
0.5	59.2	90.5	45.2	118.4	181.0	90.5	45.2
0.75	44.5	61.1	58.0	89.1	122.3	116.1	58.0
1	35.8	45.5	68.0	71.5	90.0	136.0	68.0
1.5	25.5	30.1	37.8	51.0	60.2	75.5	83.0
2	19.1	22.1	26.1	38.3	44.2	52.2	94.1
3	11.1	12.8	14.8	22.3	25.6	29.5	40.9
4	6.6	7.5	8.7	13.1	15.0	17.3	23.4
6	2.3	2.6	3.0	4.5	5.2	6.0	8.1
8	0.8	0.9	1.0	1.6	1.8	2.1	2.8
10	0.3	0.3	0.4	0.5	0.6	0.7	1.0
12	0.1	0.1	0.1	0.2	0.2	0.3	0.3

Table 6 Pharmacokinetic parameters with intravenous injection of Ceftizoxime

	A'	α'	B'	β΄	r	Time at Cmax	Cmax	T1/2-a'	T1/2-8'	Т¼-7
	(µg/ml)	(/hr)	(µg/ml)	(/hr)	(/hr)	(hr)	(µg/ml)	(hr)	(hr)	(hr)
Cervix	90.3	7.62	33.2	0.577	15.1	0.12	47.0	0.09	1.20	0.045
Myometrium	52.7	3.23	18.2	0.581	54.8	0.06	58.3	0.215	1.19	0.013
Endometrium	77.4	4.84	16.3	0.377	36.9	0.07	64.0	0.143	1.84	0.019
Ovarium	87.9	5.55	26.2	0.419	8.5	0.21	32.2	0.125	1.65	0.082
Fallopian tube	60.9	2.31	11.8	0.333	35.3	0.09	57.9	0.300	2.08	0.020

Fig. 3 Simulated and actual concentrations of Ceftizoxime in cervix of uterus following 1 g intravenous injection

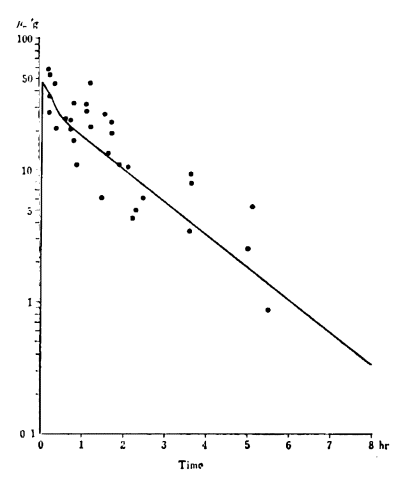
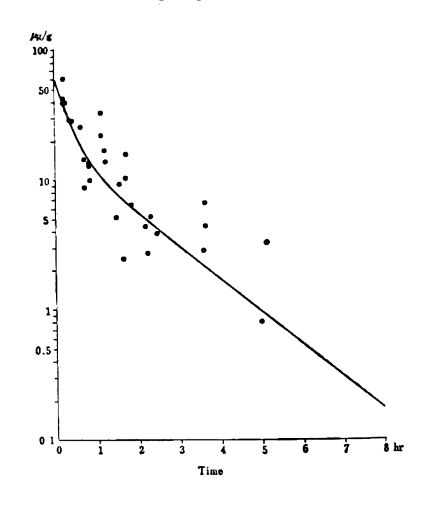


Fig. 4 Simulated and actual concentrations of Ceftizoxime in myometrium of uterus following 1 g intravenous injection

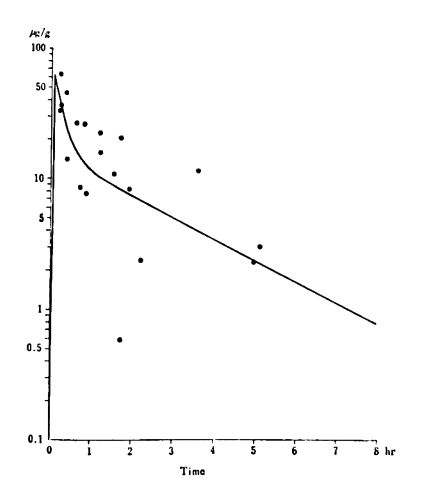


 $\mu g/g$, 内膜 11.8 $\mu g/g$ (1例),卵巣 $3.8\sim13.2$ $\mu g/g$, 卵管 $3.0\sim10.0$ $\mu g/g$, G 群では頸部 $0.86\sim5.28$ $\mu g/g$, 筋層 $<0.1\sim3.34$ $\mu g/g$, 内膜 2.4 および 3.08 $\mu g/g$, 卵巣 $0.71\sim4.90$ $\mu g/g$, 卵管 $0.71\sim3.94$ $\mu g/g$ であった (Table 3)。

先に示した式から血滑中濃度と同じく各組織濃度実測 値から A', B', α' , β' , γ を求め、 さらに最高濃度 Cmax と Cmax に達する時間を求めた (Table 6)。 肘 静脈静注後,子宮各組織濃度が peak に遠する時間は子 宮筋層において最も速く (3.6分), 卵巣で最も遅かった (12.6分)。 Cmax は子宮内膜が 64.0 µg/g と最も高 く、卵巣が 32.2 μg/g と最も低かったが、 対肘静脈最 高血滑中濃度比は約 4~12 であった。一方、回帰した 組織濃度の後期の初期消失速度定数 β' からその半減期 Τ½-β を求めてみると、 子宮頸部と 筋層における組織 内濃度半減期は1.20時間と1.19時間であり、ほぼ静脈血 清中濃度の半減期と近似していた。しかし,子宮内膜, 卵巣および 卵管における組織内濃度半減期は それぞれ 1.84 時間, 1.65 時間および 2.08 時間とやや長かった。 以上のようにして得られた子宮各組織濃度予測値を実測 値とともに Fig.3 から Fig.7 に示した。

Ceftizoxime 1g 静注時の薬動力学的 parameter か 5 0.5 g 静注時の組織濃度値を求め、 標的組織濃度の 持続時間について検討した (Table 7)。本剤が 0.2 μg/g 以上の濃度を持続する時間は, 0.5 g 静注時で子宮頸部 7.5 時間, 筋層 6.5 時間, 内膜および卵巣 9.75 時間, 卵管 10 時間となり, 1 g 静注時では子宮頸部 8.75 時間, 筋層 7.75 時間, 内膜および卵巣 11.5 時間, 卵管では12

Fig. 5 Simulated and actual concentrations of Ceftizoxime in endometrium of uterus following 1 g intravenous injection



時間以上にわたった。 同様に $0.39~\mu g/g$ 以上の濃度持続時間は、0.5~g 静注時の各組織で $5.25\sim8.25$ 時間、1~g 静注時で $6.5\sim10$ 時間であり、 $0.78~\mu g/g$ 以上の持続時間は0.5~g 静注時 $4\sim6.5$ 時間、1~g 静注時 $5.25\sim8.25$ 時間、 $1.56~\mu g/g$ 以上の持続時間は0.5~g 静注時 $3\sim5$ 時間、1~g 静注時 $4\sim6.5$ 時間、 $3.13~\mu g/g$ 以上持続時間は0.5~g 静注時 $1.75\sim3.25$ 時間、1~g 静注時 $3\sim5$ 時間、2~g 静注時 $1.75\sim3.25$ 時間 $3\sim5$ 時間、2~g 静注時 $3\sim5$ 時間、2~g 静注時 $3\sim5$ 時間、2~g 静注時 $3\sim5$ 時間、2~g 静注時 $1.75\sim3.25$ 時間と $3\sim5$ 時間、3~g 静注時 $3\sim5$ 6 日本 3~g 静注時 $3\sim5$ 7 日本 3~g 静注時 $3\sim5$ 7 日本 3~g 静注時 3~g 静注 3~g 静注 3~g 静注 3~g 静注 3~g 静注 3~g 静注 3~g 种注 3~g 静注 3~g 种注 3~g 和 3~g 种注 3~g 种注 3~g 和 3~g

Fig. 6 Simulated and actual concentrations of Ceftizoxime in ovarium following 1 g intravenous injection

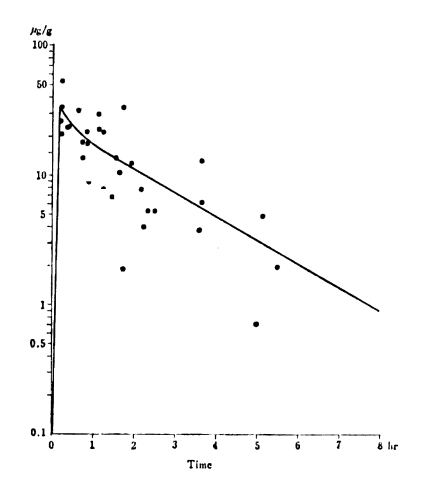


Fig. 7 Simulated and actual concentrations of Ceftizoxime in fallopian tube following 1 g intravenous injection

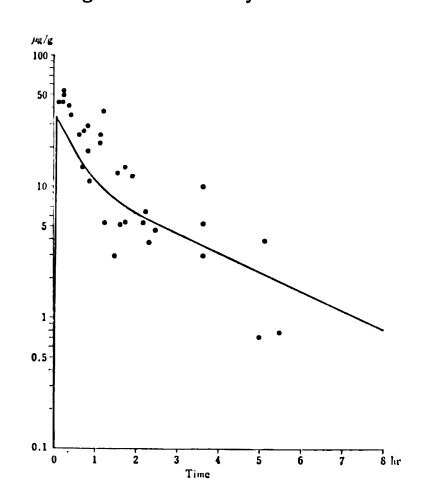


Table 7 Predicted duration of uterine tissue levels of Ceftizoxime following intravenous bolus injection

1100		Tissue concentrations of Ceftizoxime (μg/g)											
	≥	≥ 0.2		≥ 0.39		≥ 0.78		≥ 1.56		≥ 3.13		6.25	
Dose of CZX	0.5 g	1 g	0.5 g	1 g	0.5 g	1 g	0.5 g	1 g	0.5 g	1 g	0.5 g	1 g	
the state of the s		Hours maintaining the indicated tissue concentrations											
Cervix	7.5	8.75	6.5	7.5	5.25	6.5	4.0	5.25	2.75	4.0	1.5	2.75	
Myometrium	6.5	7.75	5.25	6.5	4.0	5.25	3.0	4.0	1.75	3.0	0.75	1.75	
Endometrium	9.75	11.5	8.0	9.75	6.0	8.0	4.25	6.0	2.5	4.25	0.75	2.5	
Ovarium	9.75	11.5	8.25	10.0	6.5	8.25	5.0	6.5	3.25	5.0	1.75	3.25	
Fallopian tube	10.0	>12.0	8.0	10.0	6.0	8.0	4.0	6.0	2.0	3.75	1.0	2.0	

Table 8 Therapeutic effects of Ceftizoxime in gynecological

	Case		to annual		Adm	inistr	ation (of Ceftizox	ime	
No.	Age	Body weight (kg)	Diagnosis	Severity	Route		ily ose	Duration	Total dose	Organisms isolated
1	78	46	Acute pyelonephritis	Moderate	i. v.	0.5	g×2	5 days	5 g	E. coli>10 ⁵ /ml ↓ (-)
2	49	52	Acute pyelonephritis	Moderate	i. v .	1	×2	5	10	<i>E. coli</i> >10 ⁵ /ml ↓ (-)
3	28	55	Acute pyelonephritis	Moderate	i. v.	0.5	×2	5	5	K. oxytoca>10 ⁵ /ml ↓ (-)
4	35	60	Acute adnexitis	Moderate	i. v.	1	×2	7	14	Lactobacillus
5	25	38	Acute adnexitis	Moderate	i. v.	1	×2 ,	7	14	Not detected
6	28	43	Acute adnexitis	Moderate	i. v.	1	×2	7	14	Not detected
7	27	41.5	Acute pelvic peritonitis Acute adnexitis	Moderate	i. v .	1	×2	8	16	E. coli>10 ⁵ /ml
8	41	45	Acute pelvic peritonitis Acute adnexitis	Mild	i. v.	1	×2	4	8	E. coli>10 ⁵ /ml
9	26	42	Acute pelvic peritonitis	Severe	d. i.	2	×2	7	28	Not detected
10	27	44	Purulent vulvitis	Severe	i. v.	1	×3	7	21	S. aureus (pus) (-)

成績からは回帰できなかったが、 静注時の 血清中濃度 に比例した組織内濃度と持続時間を示すものと思われる が、 今後の検討に委ねられる。

臨床的検討

1. 対象および方法

a. 対象

対象は昭和54年2月から同年8月までに川崎市立川 崎病院産婦人科病棟に入院した10例で、年令は25才~ 78才にわたっている。対象疾患は骨盤内感染症6例(急 性子宮付属器炎3例,急性骨盤腹膜炎1例,両者合併2 例,急性腎盂腎炎3例および化膿性外陰炎1例の計10 例である。対象10例の中には悪性疾患を有するものは なく、またカテーテル留置等の処置も施行していない。

infections

Clinic	al respo	onse	01: 1	
Fever (℃)	CRP	WBC (/mm³)	Clinical effect	Side effect
39.3 ↓ Subsided	8+ ↓ 2+	7,800 ↓ 4,700	Good	(-)
39 .0 ↓ Subsided	5+ ↓ 2+	7,300 ↓ 7,100	Excellent	(-)
39.1 ↓ Subsided		3,200 ↓ 4,200	Excellent	(-)
	9+ ↓ ±	4,200 ↓ 5,200	Excellent	(-)
38.0 ↓ Subsided	7+ ↓ 4+	6,400 ↓ 7,300	Poor	(-)
38.0 J Subsided	+ + -	15,500 ↓ 8,400	Excellent	(-)
38.2 ↓ Subsided	5+ ↓ -	22,800 ↓ 7,800	Excellent	(-)
37.0 ↓ Subsided	± -	7,400 ↓ 5,600	Good	(-)
37.8 ↓ Subsided	2+ ↓	23,500 ↓ 5,100	Excellent	(-)
37.5 ↓ Sùbsided	5+ ↓ 2+	3,400 ↓ 3,400	Excellent	(-)

本剤投与前の 皮内反応は 全例陰性であり、 また セファ ロスポリン、ペニシリン系抗生物質にアレルギーを有す るものも含まれていなかった (Table 8)。

b. 投与方法および投与量

9例が静注,1例が点摘静注であった。静脈内注射は20% glucose 20 ml に本剤を溶解し、3~5分間にて、点摘静注はハルトマン液500 ml に溶解し、約60分間にてそれぞれ投与した。1日投与量は1回0.5g,1日2回投与が2例,1回1g,1日2回投与が6例,1回1g,1日3回投与が1例,1回2g,1日2回点摘投与が1例で、投与期間は4日から8日間であり、総投与量は5gから28gとなった。なお、対象となった10例では、他の抗菌剤の併用は行っていない。

c. 効果判定基準

臨床効果判定基準は以下のように定めた;

著効: 主要症状の大部分が投与3日以内にほぼ改善 したもの。

有効: 主要症状の大部分が投与3日以内に改善の傾向を示したもの。

無効: 3日以内に改善傾向を示さなかったもの。

2. 成 績

Ceftizoxime 投与後の臨床効果を前記判定基準を用いて検討してみると, 10 例中者効7例, 有効2例, 無効1例となり, 90 %の有効率が得られた。

細菌学的効果についてみると、10 例中菌を検出できたものは7 例で E. coli 4 例、Klebsiella oxytoca 1 例、Lactobacillus 1 例、S. aureus 1 例で、いずれも本剤投与後に消失した。 E. coli、Klebsiella oxytoca、S. aureus 各 1 例について 日本化学療法学会標準法による MIC を測定してみると、いずれも良好な結果が得られた(Table 9)。

本剤投与前検出菌と臨床効果との関係をみてみると, 菌を検出した7例では著効5例,有効2例となり,全例 有効であった。また,重症度,総投与量と臨床効果との 間には,症例数が少ないこともあり,明確な関連は見出 せなかった。

副作用は1例も経験しなかった (Table 8)。

本剤投与前後に可能な限り末梢血,肝機能,腎機能,炎症反応を検査した (Table 10, 11) が,とくに異常な変動を示した症例は無かった。

考 按

今回研究に用いた Ceftizoxime (CZX) は藤沢薬品中央研究所で開発された新しい注射用セファロスポリン系抗生物質で,7-アミノセファロスポラン酸の3位に置換基がないことが従来の同系抗生物質と異なる点である。

Table 9 Antibacterial activities of Ceftizoxime against strains isolated from clinical cases

Case	Isolated	Isolated materials	Bacterial count		Minimu	ım inh	ibitory	conc	entrati	ons (µ	g/ml)	for	
	No. organisms			Ceftizoxime		CEZ		CTM		C	ΛZ	CMD	
				10 ⁸	10 ⁶	108	10 ⁶	10 ⁸	106	108	106	108	108
1	E. coli	Urine	10 ⁷ /ml	<0.1	<0.1	50	1.56	0.2	0.2	0.78	0.78	0.78	0.78
3	K. oxytoca	Urine	10 ⁷ /ml	<0.1	<0.1	50	3.13	0.2	0.1	0.78	0.39	3.13	0.78
4	Lactobacillus	Ascites	_	0.39	0.39	1.56	1.56	0.1	0.1	1.56	1.56	0.2	0.2

Table 10 Laboratory findings before and after administration of Ceftizoxime

Case No.	Age	RBC (10 ⁴ /mm ³)	Hb (g/dl)	Ht (%)	WBC (/mm³)	Platelet (104/mm³)	ESR (1°) (mm)
1	78	319→315	11.2→ 9.9	34.3→30.9	7,800→4,700	16.8→31.2	92→ 84
2	49	285→288	8.9→ 9.2	26.7→26.4	7,300→7,100	10.7→18.7	
3	28	373→378	12.3→12.1	34.5→37.2	3,200→4,200	17.8→30.7	
4	35	435→437	13.5→13.2	40.9→44.2	4,200→5,200	35.6→35.9	48→ 15
5	25	400→342	12.4→10.8	35.9→29.0	6,400→7,300	33.4→44.0	78→117
6	28	461→408	15.2→14.0	44.1→40.7	15,500→8,400	20.2→18.4	18→ 45
7	27	420→442	14.5→14.9	44.9→43.2	22,800→7,800	13.1→16.3	20→ 18
8	41	427→404	13.8→12.3	41.5→37.4	7,400→5,600	29.8→19.3	33→ 15
9	26	381→332	11.3→ 9.4	35.7→29.2	23,500→5,100	21.0→26.3	40→ 49
10	27	442→413	14.2→12.9	43.4→37.4	3,400→3,400	11.5→14.5	22→

Table 11 Laboratory findings before and after administration of

Case	Total dose	S-GOT	S-GPT	Al-Pase	I	Bilirubin (mg/d	1)	BUN
No.	(g)	(U/ml)	(U/ml)	(U/ml)	Direct	Indirect	Total	(mg/dl)
1	5	12→11	4→ 5	90→ 74	0.91→0.12	0.39-0.06	1.31→0.19	10.5→ 9.9
2	10	15→16	8→14	61→ 76	0.31→0.23	0.18→0.13	0.49→0.36	11.9→ 8.4
3	5	12→13	3→ 7	68→ 81	0.46→0.23	0.26→0.07	0.72→0.31	7.5→11.1
4	14	14→19	6→10	112→103	0.20→0.18	0.18→0.09	0.39→0.27	4.7→ 8.8
5	14	13→24	2→ 5	96→ 76	0.42→0.11	0.20→0.42	0.62→0.53	6.7 → 6.1
6	14	13→14	5→10	98→ 95	0.73→0.42	0.38→0.28	1.12→0.70	11.6→12.2
7	16	33→17	24→19	. 102→ 86	0.30→0.17	0.72→0.11	1.03→0.29	→ 9.4

はじめにも述べたように、本剤はグラム陰性桿菌に対する抗菌力の増強と抗菌スペクトルが拡大され、β-lactamase に対する安定性とも相まって、従来のセファロスポリン系抗生物質に 対する 耐性菌にも 効果が 期待される。

感染症に対する抗生物質の選択基準の最も有力な、あるいは唯一といって良いのがその抗生物質の in vitro 抗菌力であり、投与法、投与量もその血清中濃度を参考として経験的に決定されているのが現状である。しかし MIC で示される in vitro 抗菌活性は、 試験菌にその抗生物質が約20時間作用して得られるものであり、 その血清中濃度も生体内組織の状態を反映しているとは限らない。 今回 Ceftizoxime の産婦人科感染症、とくに子宮および子宮付属器感染症に対する有用性を検討する目的で、本剤投与後の血清中および組織濃度を測定し、compartment 理論を応用した薬動力学的解析を試みた。

Ceftizoxime 1 g 静注時の血清中濃度を simulation してみると、最高濃度は子宮動脈血(173.6 µg/ml)のほうが肘静脈血の最高濃度(139.9 µg/ml)より高かったが、血清中半減期は子宮動脈血1.02時間に対し、肘静脈血1.30時間と子宮動脈血のほうがやや短かく、そのため血清1時間値はほぼ同じ level であったが1時間以降では静脈血がやや高値を示した。また今回の肘静脈血清中半減期は同一症例で経時的に検体を得て算出したのとは異なり、個々の測定点が別々の症例によって構成されていたにもかかわらず、これまで報告いされた値と近似していた。

一方,子宮および付属器組織濃度については, Table 5に示したように組織最高濃度に達する時間は子宮筋層が最も速く(3.6分), 最も遅かった 卵巣(12.6分)との間には約9分間の差がみられた。また最高濃度は子宮

Ceftizoxime

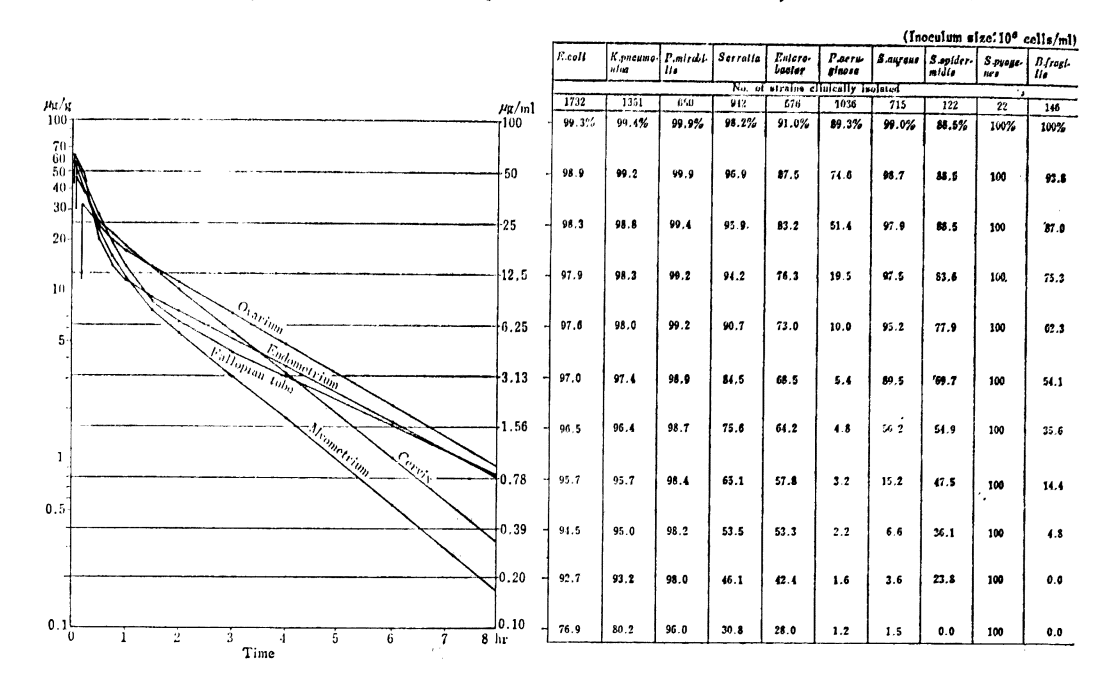
S-Cr (mg/dl)	Electrolytes (mEq/1)		
	Na	К	Cl
1.1→1.0	136→138	3.5→3.8	102→105
0.7→0.7	136→142	3.4→3.2	103→105
1.0→1.1	141→136	4.2→4.1	103→106
0.8→0.9	143→136	4.0→4.0	106→105
0.8→0.8	139→137	4.2→4.9	104→104
0.8→0.6	137→142	3.6→4.7	97→ 97
→0.8	138→	3.2→	105→

内膜において最も高く、子宮筋層、卵管の順となった。吉田らいは CEZ 2g、30 分点滴後の血清、婦人科関連 臓器の濃度推移について検討して、卵管、子宮内膜、子宮筋層の順に移行本が高く、その血清中濃度に対する比率は53 %、46 %、36 %と報告している。今回の Ceft-izoxime に関する成績では、対最高血清中濃度比は子宮内膜45.7 %、子宮筋層41.7 %、卵管41.4 %、子宮頸部33.6 %、卵巣23.0 %の順となり、吉田らとほぼ同様な成績であった。これらの成績を併せ考えると、子宮内膜、筋層、卵管部位における血流の豊富さを証明していると言えよう。

本剤の新薬シンポジウムで発表された臨床分離株に対 する抗菌力と、1g 静注時の実測値を two compartment open model 式から回帰した子宮および付属器組織濃度 と特続時間との関係から本剤の婦人科感染症における至 適投与法。 投与量ならびに 有用性に ついて 考察してみ た。Fig. 3 から Fig. 7 に示した 各標的組織濃度回帰曲 線と 10⁶ cells/ml 接種時の各濃度系列に おける累積最 小発育阻止濃度 percent とを対比してみると (Fig. 8), 0.2 μg/g or ml の濃度で E. coli, Klebsiella pneumoniae. P. mirabilis および S. pyogenes はそれらの90 %以上の菌株が発育を阻止され、しかも子宮筋層では7 時間以上の、他の組織ではいずれも8時間以上の持続時 間を示し、これらの菌による感染症に対して本剤は 0.5 g の投与量でも充分治療効果が期待され得ると推察され た。婦人科領域でも問題となりつつある Serratia 感染 症については、その80%以上の菌株が本剤の3.13 µg/ ml で発育阻止され、1g 静注で3~5時間にわたりその 組織濃度を維持可能であった。 同濃度で Enterobacter は約70%が発育阻止されるが、Serratia と同様に3~ 5時間その濃度を維持されるので充分適応となると考え られた。グラム陽性球菌の S. aureus は1.56 μg/ml で その 56 %が、3.13 μg/ml で約 90 %が発育阻止され、 S. epidermidis は 1.56 µg/ml で約 55 %, 3.13 µg/ml で約70%が発育阻止されるが、1.56 µg/g の組織濃度 は4~7時間、3.13 μ g/g は先にも述べたとおり3~5 時間維持されることを考えると、CEZ、CMZ、CTM よ りこれら両菌に対する MIC は数管劣るものの充分適応 が可能と思われた。 また、 最近 Bacteroides fragilis をはじめとする嫌気性菌感染症が婦人科感染症の重要な 一翼を担っているが、 B. fagilis に対する 80 %発育阻 止濃度は 12.5 μg/ml であり、これは CFX、CEZ より 優れており, B. fragilis の 54 %は 3.13 μg/ml で発育 阻止される。 Pseudomonas aeruginosa については 50 %発育阻止濃度が 25 μg/ml であった。

生体内での薬物動態と起炎菌の MIC および殺菌効果

Fig. 8 Relationship between simulated tissue levels of Ceftizoxime in uterus following 1g
I. V. injection and cumulative percent of strains inhibited by each concentration



との関係について広瀬ら5)は、Ceftizoxime 1g を静注 した際の血清中濃度を in vitro kinetic model⁶⁾ で再 現し, 本剤の濃度変化系における各種細菌に対する殺菌 効果を検討し報告している。1g 静注時の血清中濃度を 再現する kinetic model では、一般に 108 cells/ml の 接種条件における MIC 値が 6.25 µg/ml またはそれ 以下の菌株に対し Ceftizoxime の殺菌効果が認められ、 検討した8時間以内に再増殖を認めなかったとしてお り、 MIC 値以上の体液内濃度 が 一定時間維持 されれ ば、本剤の場合殺菌効果が得られ、再増殖が認められな いことを示している。一方、薬剤の至適投与法を考える と,標的組織での有効性を維持しつつ,副作用防止,減 少のためには総投与量はできるだけ少ないことが望まし い。北畠ら71によると等間隔投与では一定量の投与で良 いが、不均等間隔投与ではその間隔に応じた投与量の調 整が必要であり、同じ1日投与回数でも不均等間隔投与 のほうが1日総投与量は多くなるという。

Ceftizoxime に関する子宮および 付属器濃度の 薬動力学的検討成績と上記の 2, 3の知見を 総合すると, E. coli, K. pneumoniae, P. mirabilis, Serratia, Enterobacter などのグラム陰性桿菌, あるいは S. pyogenes, S. aureus, S. epidermidis などのグラム陽性球菌による子宮内膜炎, 付属器炎その他の婦人科感染症に対

して Ceftizoxime は1回1g, 1日2回の静注で、ほほ必要な組織濃度の維持と殺菌効果が得られるものと考えられる。Bacteroides fragilis による子宮内感染症に対しては、1回1g, 1日2回の静注で充分とは言えないまでも、投与量の増加あるいは投与法の工夫により、多くの場合臨床効果が期待し得るようになると思われる。P. aeruginosa 感染症については、必要組織濃度を得るために 増量と 頼回投与を行って 安全性を 危惧するよりも、他の有効な薬剤との併用により効果を期待したほうが良いと思われる。

Ceftizoxime を臨床使用した10例中7例で菌が検出され、E. coli 4 例、K. oxytoca 1 例、S. aureus 1 例、Lactobacillus 1 例であった。E. coli 4 例の臨床効果は著効2 例、有効2 例で、その MIC からみても当然の成績であった。 K. oxytoca の1 例も著効を示し、本剤の抗菌力を反映した結果であった。 S. aureus による化膿性外陰炎についても著効を示すなど、前述した in vitroでの本剤の特長と併せて、婦人科領域感染症に使用する抗生物質としてその選択基準を充分満足させ得るものであると思われた。

1 文

1) 第26回日本化学療法学会東日本支部総会新薬シンポジウ

- ム FK749 (Ceftisoxime), 1979 (東京)
- METZLER, C. M.: The Upjohn Company, Kalamazoo, Michigan, 49001
- GIBALDI MILO & DONALD PERRIER: Drugs and The Pharmaceutical Science. Vol. 1, Pharmacokinetics. Marcel Dekker, Inc., New York
- 4) 吉田 威,佐々木秀飯,井上芳樹,服部 浩,千島研作,福田真樹,淵 勲,野田起一郎: Cefazolin 静注後 の血清および婦人科関連臓器内の濃度推移。 産婦人科の 世界 31:557~559, 1979
- 5) 広瀬俊治, 坂本 博, 村川武雄, 西田 実: FK 749 の

- 健康成人における pharmacokinetics と in vitro kinetic model における収繭性。第27回日本化学療法学会西日本 支部総会。1979 (大阪)
- 6) 村川武雄, 広瀬传治, 西田 実: 生体内に simulate した in vitro model における抗生物質の殺菌作用 (2) two compartment 理論による 新しい gradient 濃度変化 model について。Chemotherapy 28: 26~30, 1980
- 7) 北島 関、楠岡英雄、楓谷文彦: Pharmacokinetics に もとづく投楽計画、楽剤の最適投与法について。 医学の あゆみ 110: 822~827, 1979

PHARMACOKINETIC STUDY IN UTERINE TISSUES AND CLINICAL EVALUATION ON CEFTIZOXIME

HIDEYO NAKAMURA

Department of Obstetrics and Gynecology, Kawasaki City Hospital

Ceftizoxime, a new parenteral cephalosporin antibiotic, was given by intravenous single shot of one gram to 32 patients who underwent total hysterectomy suffered from myoma of the uterus, and the levels of ceftizoxime in sera of cubital vena and uterine artery, and cervix, myometrium, endometrium, ovarium and fallopian tube were determined by the disc method with *Bacillus subtilis* ATCC 6633 as the test organism.

Serum and uterine tissue concentrations obtained from 14 to 330 minutes after injection were analyzed pharmacokinetically by two compartment open model and three exponential model respectively.

Fastest maximum tissue levels were obtained in myometrium requiring for 3.6 minutes, and which was 9 minutes faster than that of ovarium. The rates of maximum levels in tissues versus cubital sera were 46% in endometrium, 42% in myometrium, 41% in fallopian tube, 34% in cervix and 23% in ovarium, respectively. In view of the relationship between concentrations in uterine tissues and antibacterial activities, it was considered that ceftizoxime is an potent useful cephalosporin antibiotic for the treatment of gynecological infections caused by E. coli, K. pneumoniae, P. mirabilis and other gram negative bacilli, as well as S. pyogenes, S. aureus and other gram positive cocci, and anaerobic bacteria.

Ceftizoxime was administered to 10 patients, three of acute adnexitis (*Lactobacillus* 1, unknown 2), three of pelvic peritonitis including two cases complicated with adnexitis, (*E. coli* 2, unknown 1), three of acute pyelonephritis (*E. coli* 2, *K. oxytoca* 1) and one of purulent vulvitis (*S. aureus*), in the dosage of 0.5 to 1 gram twice a day for 4 to 8 days by intravenous bolus injection except one case of 2 grams twice a day by intravenous drip infusion.

Clinical responses were obtained excellent in 7, good in 2 and poor in one. No adverse reaction was observed in any of the cases treated with ceftizoxime, nor was there any marked changes in the laboratory findings including peripheral blood examinations, hepatic and renal function.

These pharmacokinetic and clinical results revealed that ceftizoxime is a useful antibiotic of first choice for the treatment of gynecological infections.